

## تداخل‌سنجی تفاضلی تصاویر راداری به منظور تبیین خطرپذیری شبکه انتقال نفت و گاز مارون از مخاطره زمین لغزش

محمد شریفی کیا<sup>۱</sup>؛ دانشیار سنجش از دور، گروه سنجش از دور، دانشگاه تربیت مدرس، تهران، ایران.  
مرال پورحمزه؛ دانش آموخته سنجش از دور، گروه سنجش از دور، دانشگاه تربیت مدرس، تهران، ایران.

دریافت مقاله: ۱۳۹۷/۱۱/۰۱ پذیرش نهایی: ۱۴۰۱/۰۸/۲۱

### چکیده

تداخل‌سنجی راداری تکنیکی کارآمد برای رصد پویایی سطوح است که به کمک آن میتوان ناپایداری سطوح به خصوص سطوح دامنه‌ای که مخاطرات لغزشی را پدید دارند، تشخیص و مورد پایش قرار داد. تشخیص این مخاطره علاوه بر خطرات شناخته شده و متداول آن در پاره‌ای مواقع می‌تواند تأسیسات و زیرساخت‌های مدفون را آسیب رسانیده، خطرات و خسارات فراوانی به همراه داشته باشد. شبکه انتقال نفت از جمله این زیرساخت‌هاست که با عبور از نواحی کوهستانی و مستعد لغزش عموماً در خطر شکستگی و مالا نشت قرار دارند. برغم وجود چنین پتانسیلی از تهدید و خطر پی جویی انجام شده در این تحقیق در زمینه شناسائی و دست یابی به پژوهش مقاله انتشار یافته به منظور تعیین خطرپذیری خطوط لوله با تکنیک تداخل‌سنجی راداری در منطقه مورد مطالعه قرین توفیق نگردید. تحقیق حاضر خطرپذیری شبکه نفت و گاز مارون (مارون-اصفهان) در زاگرس مرکزی از مخاطره زمین‌لغزش به کمک تکنیک تداخل‌سنجی راداری را هدف داشته است. بدین منظور داده‌های دو سنجنده راداری در باند C و L در مقاطع متفاوت زمانی دریافت و مبتنی بر روش تداخل‌سنجی تفاضلی میزان تغییرات سطح و جابجایی‌های آن محاسبه شد. بر این اساس نرخ حداکثر جابجایی در منطقه حدود ۷/۴ سانتی‌متر بالآمدگی و ۳/۹ سانتی‌متر فروافتادگی حاصل شد. پس از آن صحت نتایج بدست آمده از مرحله آزمایشگاهی، در پیمایش میدانی با بازدید از ۳ زمین‌لغزش واقع در مجاورت خط لوله و تطبیق مکانی آن‌ها با یافته‌های آزمایشگاهی سنجیده شد. سپس پهنه‌بندی خطر آتی زمین‌لغزش در ۵ کلاس خطر با مدل تجربی ارزش اطلاعاتی تهیه و صحت‌سنجی شد. مستند به این نقشه، حدود ۲۰ درصد سطح اراضی مورد مطالعه در کلاس خطر زیاد و بسیار زیاد طبقه‌بندی شده است. منطبق‌سازی نقشه کلاس‌بندی خطر زمین‌لغزش با مسیر خط لوله نشان داد که ۲۸/۵ درصد از طول خط لوله مورد مطالعه در کلاس خطر زیاد و خیلی زیاد، و حدود ۵۲ درصد از آن در کلاس خطر کم و بسیار کم قرار گرفته‌اند.

واژه‌های کلیدی: تداخل‌سنجی رادار، خط لوله نفت و گاز، زمین‌لغزش، مارون، خطرپذیری.

## مقدمه

در صنایع نفت و گاز همواره خطرات بالقوه‌ای وجود دارند که می‌توانند موجب بروز صدمات جانی و زیست‌محیطی و خسارت‌های مالی شدید و جبران‌ناپذیری شوند. در نواحی زاگرس مرکزی با شرایط زمین‌شناسی و مورفولوژیکی خاصی مواجه هستیم که زیرساخت مناسبی برای وقوع انواع حرکات توده‌ای فراهم ساخته است. به علت خطی بودن خطوط لوله انتقال نفت و گاز، این خطوط لزوماً از مناطق مستعد زمین‌لغزش عبور می‌کنند. خط لوله مارون با عبور از عرض سطوح شدیداً ناهموار از جمله خطوط لوله سخت‌گذر دنیااست. این خط لوله با انتقال روزانه بیش از ۵۰۰ هزار بشکه نفت خام یکی از مهمترین خطوط انتقال نفت خام کشور است که با تأمین خوراک پالایشگاه اصفهان و بخشی از خوراک پالایشگاه‌های تهران و تبریز، نقش مهمی در تأمین سوخت مورد نیاز کشور ایفا می‌کند.

متأسفانه در کشور ما، حدوث زمین‌لغزش فراگیر بوده و از فرکانس زمانی و گستره‌ی مکانی نسبتاً بالایی برخوردار است. اما به علت تنوع در نوع و منشأ حدوث در پاره‌ای از مواقع روش‌های متداول سنجش از دوری و پایش میدانی قادر به آشکارسازی و تعیین نرخ و دامنه‌ی ناپایداری‌ها نیست. علاوه بر آن گستره‌ی فضایی، منطقه بکارگیری ابزاری دقیق پایشی مانند GPS<sup>۱</sup> را به سبب زمان‌بری و هزینه‌ی بالا میسر نمی‌سازد. در عین حال این مهم همچنان مشهود است که شناسایی دقیق پدیده لغزش امکان ارزیابی و تحدید آن در فرم مخاطره برای تأسیسات و زیرساخت‌های واقع را فراهم می‌آورد. محوری‌ترین زیرساخت مورد تهدید از سوی این مخاطره، لوله‌ی انتقال انرژی (نفت و گاز) می‌باشد. درک نرخ و دامنه‌ی فضایی این مخاطره با هدف شناسایی نقاط در معرض گسیختگی موضعی و تهدیدکننده‌ی این شبکه اقدام مناسبی در پیشگیری از فاجعه و تعدیل زیان‌های اقتصادی و زیست‌محیطی ناشی از شکستگی این خطوط است. موضوعی که بی توجهی یا کم توجهی به آن می‌تواند رویداد یک پدیده طبیعی در بستر محیطی خود را به تهدید و ناامنی تبدیل کرده و در مواردی فاجعه‌بار شود.

در کشور ما شکستگی خط لوله انتقال نفت تاکنون خسارات زیست‌محیطی و مالی و حتی جانی زیادی به بار آورده است (۱۴ خرداد ۱۳۸۷). بر اثر نشت نفت خام خسارت‌هایی به منازل مسکونی، رودخانه‌ها، آب آشامیدنی، حوضچه‌های پرورش ماهی، احشام و طیور، درختان و محصولات کشاورزی مناطق اطراف وارد می‌شود. همچنین عملیات بازسازی و تعمیر خط لوله آسیب‌دیده، جمع‌آوری آلودگی‌های نفتی ناشی از شکستگی خط لوله و جلوگیری از انتشار آلودگی‌های نفتی در سطح رودخانه‌ها، از جمله هزینه‌هایی است که ایجاد می‌شود.

تجربه‌های ناشی از خسارات قبلی و تحقیقات کمک می‌کنند تا انواع مختلف شکست‌ها شناسایی شوند و دلایل وقوع آن‌ها ریشه‌یابی گردد و راه‌های مناسب برای جلوگیری از به وقوع پیوستن مجدد آن‌ها به کار برده شود. طبق بررسی‌های صورت گرفته در کشور مطالعاتی در زمینه برآورد خطرپذیری خطوط انتقال نفت و گاز با روش‌های مختلف صورت گرفته که نشان‌دهنده اهمیت این مسئله است. از جمله این روش‌ها می‌توان به روش تحلیل سلسله مراتبی (AHP)، Bow-tie، HAZUS، سیستم اطلاعات جغرافیایی (GIS) و بازدیدهای صحرائی اشاره کرد. (موسسه زلزله شناسی، ۱۳۷۵، عباسی، ۱۳۷۶، جوزی و ایرانخواهی، ۱۳۸۸، نورمحمدی، ۱۳۹۰، حصاری شرمه، ۱۳۹۱، ایزدی و چاوشیان، ۱۳۹۴، حیرانی و بقایی، ۱۳۹۵).

<sup>۱</sup>. Global Positioning System

در سطح جهان نیز مطالعات زیادی در رابطه با خطرپذیری شبکه‌های زیرزمینی انتقال انرژی انجام شده است. از جمله آن‌ها پژوهشی در قالب پروژه‌ی ۳۰ ماهه‌ی PRCI<sup>۱</sup> در جهت توسعه رهنمودهایی برای مدیریت خطرات خط لوله گاز طبیعی و هیدروکربن مایع از پدیده‌های زمین‌لغزش و فرونشست زمین در اواسط سال ۲۰۰۶ در ایالت تگزاس آمریکا آغاز شد. دامنه این پروژه شامل بررسی روش‌های موجود برای شناسایی خطرات زمین‌لغزش و فرونشست، یک فرآیند اصولی برای برآورد خطرات ناشی از این پدیده‌ها برای خطوط لوله و مزیت بالقوه استراتژی‌های کاهش خطر، تحقیق در مورد برهم‌کنش خاک و لوله، و روش‌های بهبود یافته تعیین تنش لوله در اندازه‌گیری‌ها می‌باشد (Honegger, et al., ۲۰۱۰). همچنین پژوهشی که توسط فروچا<sup>۲</sup> و همکارانش برای ارزیابی خطر خط لوله گاز زیر دریا در شرق جاوا با روش مونت کارلو انجام شد و مشخص شد که تمام خط لوله در مرحله خطر غیر قابل تحمل قرار دارند (Firucha, et al., ۲۰۱۲). شهریار<sup>۳</sup> و همکارانش با استفاده از آنالیز bow-tie فازی مطالعه‌ای در مورد خطرات خطوط لوله نفت و گاز و عواقب ناشی از شکست خطوط لوله و آثار آن بر مال و جان و محیط انجام داده‌اند، و به این نتیجه رسیدند که در حالت ایده‌آل باید در مرحله طراحی تمام قوانین ایمنی برای خط لوله در نظر گرفته شود (Shahriar, et al., ۲۰۱۲). در مطالعه نسبتاً نزدیک به موضوع مورد بررسی در سال ۱۳۷۴ مطالعه‌ای جهت بررسی رفتار خطوط لوله مدفون گاز تحت اثر حرکت نسبی زمین مورد تحلیل قرار گرفته و با استفاده از نتایج این تحلیل‌ها ضمن آن که اثر عوامل مختلف بر رفتار خطوط لوله مدفون بررسی شده، نتایج و توصیه‌های لازم ارائه گردیده است (برگی و هروی، ۱۳۷۴).

آنچه از مطالعات و تحقیقات متقدم در زمینه تبیین تهدیدات مخاطرات زمینی در مسیر شبکه‌های انتقال انرژی پس روی قرار می‌گیرد متمرکز بر موضوع حدوث خطر و مورد توجه قرار گرفتن چنین مخاطراتی در سطح جهانی (هرچند بطور محدود و بکارگیری روش و تکنیک‌های خاص برای رصد آن است. این تکنیک‌های در گذر زمان توسعه یافته و در مواردی منسوخ و یا تغییر یافته و جای آن را تکنیک‌های نوین گرفته است. از جمله تکنیک‌های نسبتاً نوین برای شناسایی و اندازه‌گیری مخاطرات زمینی تداخل‌سنجی تفاضلی راداری (D-InSAR<sup>۴</sup>) است. امکان مناسبی از شناسایی و تحدید مکانی نقاط و نواحی در معرض این پدیده را فراهم می‌آورد. این تکنیک یک روش مناسب جهت آشکارسازی تغییرات به وجود آمده در سطح زمین می‌باشد. این تکنیک می‌تواند حرکت زمین در قدرت تفکیک مکانی بالا را در منطقه‌ای وسیع با حداقل تأثیر از شرایط پوششی و آب و هوایی اندازه‌گیری کند (شریفی کیا ۱۳۹۱).

تکنیک فوق‌الذکر در دهه گذشته با معرفی داده و نرم افزارهای متنوع بسط فراوانی یافته و موسسات علمی ایران و جهان در زمینه‌ی شناسایی و اندازه‌گیری پدیده‌های همانند فرونشست زمین، زمین‌لغزش، زلزله و بطور محدودتر سیل مورد توجه محققین بسیار بود است. (Dehgani, et al., ۲۰۰۹، Chatterjee, et al., ۲۰۰۶، Motagh, et al., ۲۰۰۹، Motagh, et al., ۲۰۰۸، فولادی‌مقدم، ۱۳۸۸، محمدی، ۱۳۸۹، حقیقت مهر، ۱۳۸۹، کریمی، ۱۳۹۰، دهقان سورکی، ۱۳۹۰، شریفی‌کیا، ۱۳۹۱، شریفی‌کیا و همکاران، ۱۳۹۲، حبیب‌زاده هریس، ۱۳۹۲، روستایی و همکاران، ۱۳۹۲، شیرانی و همکاران، ۱۳۹۳؛ Sneed, et al., ۲۰۰۳، Ferretti, et al., ۲۰۱۵، Chamundeeswari, et al., ۲۰۰۷، Schlögel, et al., ۲۰۱۴، Crosetto, et al., ۲۰۰۸، Raucoles, et al., ۲۰۱۳).

۱. Pipeline Research Council International

۲. Firucha

۳. Shahriar

۴. Differential Synthetic Aperture Radar Interferometry

علاوه بر شناسائی و اندازه گیری مخاطرات زمینی در پیرامون خطوط انتقال انرژی به سبب محدودیت این روش به مخاطرات حادث در نواحی و نقاط محدود، موضوع پهنه بندی خطر و تبیین درجات خطرافرینی در امتداد خطوط ضرورت می یابد. در رابطه با پهنه بندی خطر زمین لغزش به عنوان مخاطره مورد بحث در این تحقیق، روش های زیادی از جمله روش منطق فازی، سلسله مراتبی و شبکه عصبی مصنوعی و روش های متفاوت تجربی مثل مدل ارزش اطلاعاتی و رگرسیون لجستیک همواره مورد استفاده محققان داخلی بوده است (راعی و همکاران، ۱۳۸۴، شریفی کیا ۲۰۰۷، افجه نصر آبادی و همکاران، ۱۳۸۷، بای و حاجی میر رحیمی، ۱۳۸۷، متکان و همکاران، ۱۳۸۸، مصفاپی و همکاران، ۱۳۸۸، ایلانلو و همکاران، ۱۳۸۹، بهنیافر و همکاران، ۱۳۸۹، پورقاسمی و همکاران، ۱۳۹۰، سوری و همکاران، ۱۳۹۰، شادفر و همکاران، ۱۳۹۰، صفاری و اخدر، ۱۳۹۱).

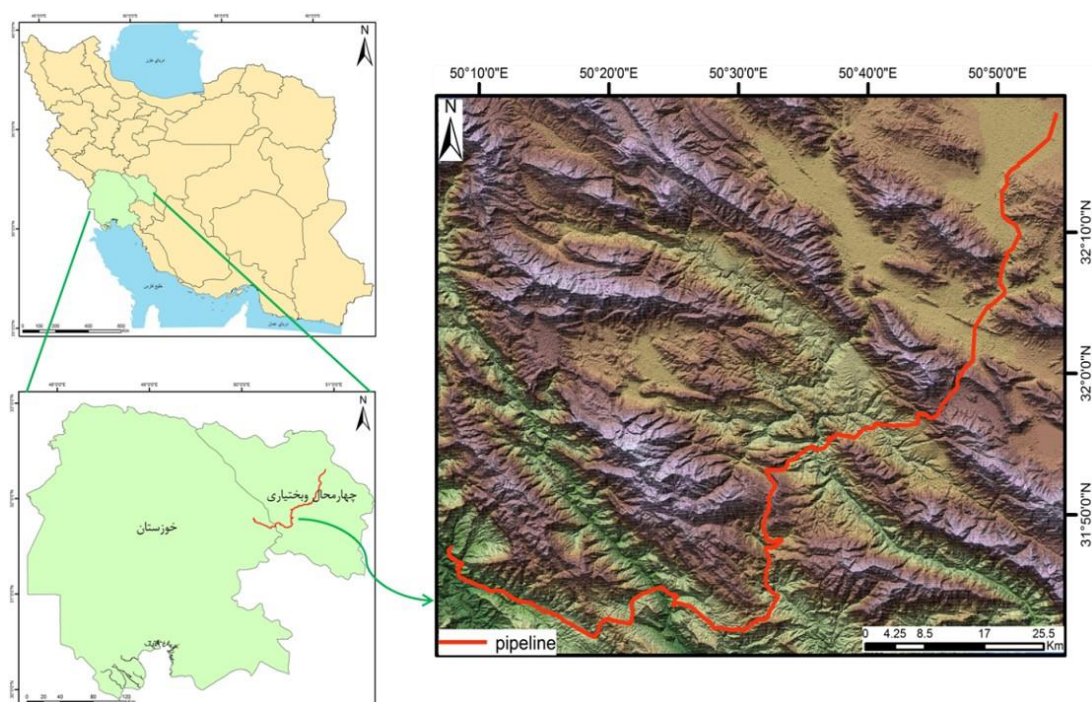
از روش های متداول برای پهنه بندی مخاطره زمین لغزش، روش ارزش اطلاعات در این تحقیق مورد توجه قرار گرفته است. مبتنی بر مبانی علمی و تکنیکی بیان شده مساله شناسائی اندازه گیری و پهنه بندی خطر ناشی از مخاطره زمین لغزش در دامنه ای واجد شبکه مدفون انرژی در کشور ضرورتی خاص داشته که به سبب در اختیار بودن دانش و تکنیک مربوطه ظرفیت اجرایی یافته است. تحقیق حاضر با امهان به این مهم و درک وظیفه مندی علمی در معرفی روشی کارآمد برای بررسی و تبیین خطر احتمالی در پیرامون شبکه انرژی کشور که عمدتاً از نواحی کوهستانی و واجد استعداد زمین لغزش کشور عبور می نمایند، تحقیق حاضر صورت پذیرفته است. بدین منظور و با هدف شناخت افزونتر و تعیین کارآمدی تکنیک مورد استفاده جهت تعیین خطرپذیری خطوط لوله انتقال انرژی از مخاطره زمین لغزش در بخشی از رشته کوه زاگرس به عنوان کانون اصلی عبور انرژی به نواحی داخلی ایران، خط لوله مارون به اصفهان مورد مطالعه قرار گرفته است.

## داده و روش کار

### • معرفی منطقه مورد مطالعه

منطقه مورد مطالعه واقع در استان چهارمحال و بختیاری و قسمتی از خوزستان با مساحتی در حدود ۵۸۰۰ کیلومتر مربع می باشد. این منطقه قسمتی از خط لوله انتقال نفت و گاز مارون-اصفهان، از شهرستان دهدز در خوزستان تا شهرکرد در چهارمحال و بختیاری را در بر می گیرد. منطقه غالباً دارای توپوگرافی شدید و در برخی نقاط دشت های هموار می باشد که هرساله تحت کشت قرار می گیرند. موقعیت جغرافیایی منطقه بین عرض های ۰۳' ۴۰' ۳۱" تا ۳۰' ۳۲' ۱۹" شمالی و طول های ۰۰' ۰۶' ۵۰" تا ۲۴' ۵۶' ۵۰" شرقی واقع می باشد. ارتفاع این منطقه از ۶۵۴ تا ۴۱۲۵ متر متغیر می باشد و متوسط ارتفاع حدوداً ۲۲۳۸ متر برآورد شده است.

با توجه به محدودیت دسترسی به داده های ماهواره ای و همچنین گستردگی و خطی بودن شبکه انتقال نفت و گاز، تلاش شد بخشی از خط لوله که در منطقه ای با حداکثر ناپایداری دامنه ای قرار دارد انتخاب گردد. شکل ۱ محدوده جغرافیایی منطقه را نشان می دهد.

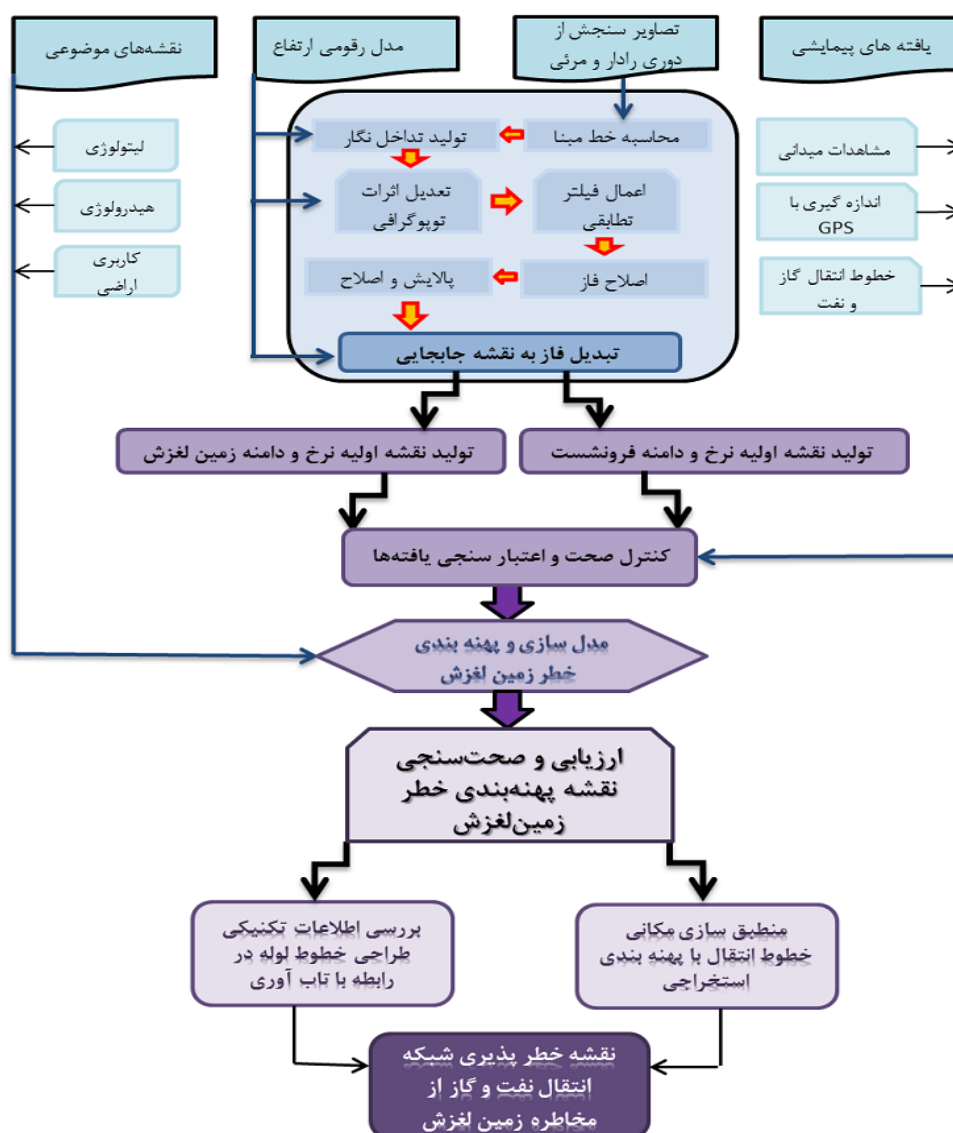


شکل ۱ موقعیت جغرافیایی منطقه مورد مطالعه

#### • داده‌ها و روش

این پژوهش متکی بر روش آزمایشگاهی-پیمایشی است. نخست روش‌های آزمایشگاهی به منظور تهیه نقشه‌های ناپایداری دامنه‌ای و تشخیص نواحی در معرض خطر زمین‌لغزش و همچنین منطبق‌سازی مکانی آن با نقشه‌ی خطوط لوله برای تعیین مقاطع در معرض خطر انجام شد. در این مرحله از داده‌های باند C دو ماهواره اروپایی Envisat و داده‌های باند L سنجنده PALSAR ماهواره ژاپنی ALOS که از طریق پردازش در نرم افزار تخصصی SARSCAPE در پلات فرم ENVI به کمک روش تداخل‌سنجی تفاضلی رادار (D-InSAR) تغییرات ارتفاعی حاصل از حرکات دامنه‌ای در سطح منطقه تعیین شد. سپس یافته‌های حاصل به منظور اعتبارسنجی تکنیک و انطباق‌پذیری مکانی پهنه‌های شناسایی شده از طریق عملیات پیمایشی و با استفاده از ابزار GPS، برای شناخت و پی‌جویی جابجایی‌ها، در سطح زمین کنترل شد. پس از آن اقدام به پهنه‌بندی خطر زمین‌لغزش از طریق مدل تجربی ارزش اطلاعاتی<sup>۱</sup> و تبیین سطوح خطرپذیری شبکه در مقاطع در معرض شده و درجات متفاوت آن بر مبنای ساختار تکنیکی شبکه باز تعیین و دسته‌بندی شد.

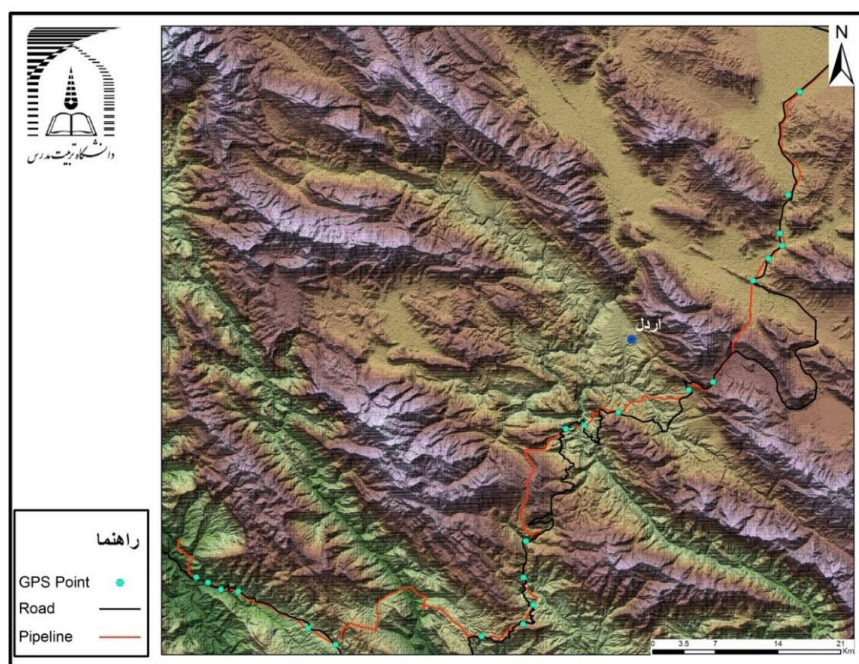
<sup>۱</sup> Information Value Model



شکل ۲. دیاگرام مراحل انجام پژوهش

علاوه بر داده‌های فوق‌الذکر، در این تحقیق از مدل رقمی ارتفاع (DEM) حاصل از باند L سنجنده PALSAR با دقت ۱۲/۵ متر به عنوان داده ورودی به الگوریتم پردازش با هدف تعدیل هرچه بیشتر اثر توپوگرافی در تخلیص نهایی فاز جابجایی استفاده شد. همچنین از داده‌های جانبی اعم از نقشه‌های پایه‌ی موضوعی و نقشه‌ی تولیدی مسیر خطوط لوله و داده‌های حاصل از پیمایش با GPS برای مدلسازی و تعیین سطوح خطرپذیری ناپایداری‌ها استفاده شد. هر کدام از سنجنده‌های مورد استفاده با توجه به بسامد مورد استفاده در ارسال و دریافت سیگنال قابلیت‌ها و دقت‌های متفاوتی را در برخورد با اهداف زمینی و در نتیجه تغییرات فازی نسبت به هم نشان می‌دهند. لذا بجهت عدم امکان مقایسه یا ترکیب ارقام تفاضل فاز حاصل از جابجایی در نقشه‌های تولیدی، داده‌ها با فرکانس متفاوت به صورت دو به دو با هم مقایسه و تلفیق گردید. به بیان دیگر داده‌های مربوط به هر سنجنده پس از انجام پیش‌پردازش‌های راداری از لحاظ خط‌مبنای مکانی به صورت مستقل از هم به صورت دو به دو با هم مقایسه گردیده و در نهایت زوج‌های مناسب طبق خط‌مبنای مکانی و زمانی قابل قبول جهت تداخل‌سنجی انتخاب شدند. با هدف تعدیل ناهم‌دسی

فازی در تصاویر، تاریخ انتخابی با در نظر گرفتن موقعیت مکانی منطقه مورد مطالعه محدود به زمان‌هایی هستند که کمترین تغییرات در رشد و نمو پوشش گیاهی و همچنین کمترین میزان پوشش برفی وجود داشته باشد. از دیگر داده‌های مورد استفاده در تحقیق داده‌های حاصل از عملیات پیمایش با سیستم تعیین موقعیت جهانی (GPS) هستند. بدین منظور بازدید محلی پس از انجام مراحل آزمایشگاهی و شناسایی ناپایداری‌ها بر روی نقشه منطقه، با کمک GPS در خرداد ماه ۱۳۹۵ به انجام رسید. ابتدا با تعقیب زمینی خط لوله نفت و گاز که غالباً به موازات یکدیگر طراحی شده اند، مسیر عبور لوله بر اساس شواهد زمینی تعیین و اقدام به برداشت موقعیت نقاط شناسایی شده از شواهد قطعی حضور لوله در زیر زمین شد. این مختصات به نقشه‌های موضوعی حاصل از تصاویر ایتیک منتقل با پردازش این تصاویر و استخراج خطواره<sup>۱</sup> مسیر نهایی تعیین گردید. همچنین علاوه بر داشت این مسیر اقدام انطباق پهنه‌های معرف لغزش در پیرامون این مسیر با شواهد زمینی و مواردی برداشت مختصات عرصه تغییر یافته با استفاده DGPS به روش RTK شد. در شکل ۴ مسیر پیمایش شده در سفر و همچنین مسیر خط لوله ترسیم شده نمایش داده شده است. نقاط برداشت شده از خط لوله در طول مسیر نیز در تصویر زیر دیده می‌شود.



شکل ۴. مسیر برداشت شده خط لوله نفت و گاز مارون در عملیات پیمایش میدانی

( تصویر زمینه الگوی ناهمواری بخش مرکزی زاگرس ، خط قرمز روشن شبکه انتقال نفت و گاز مارون و نقاط سبز زنگ کانونهای شناسایی و برداشت شده در عملیات پیمایشی)

مراحل و روش تداخل‌سنجی تفاضلی رادار برای استخراج ناپایداری دامنه ای

از اساسی‌ترین مراحل در پردازش تداخل‌سنجی راداری انتخاب مناسب زوج تصاویر راداری می باشد که یکسری عوامل همچون فرکانس سنجنده، خط مبنای مکانی، خط مبنای زمانی و همچنین همپوشانی فضایی در راستای حرکت سنجنده، در انتخاب زوج تصاویر مؤثر می‌باشند. نکته حایز ذکر اینکه داده های باند L راداری از قابلیت مطلوبتری

<sup>۱</sup>. Lineament

نسبت به باند C برخوردار است. استفاده از این سنجنده در مناطقی که پوشش گیاهی نسبتاً گسترده است، به دلیل نفوذ بیشتر از سطح پوشش و بازپراکنش مطلوب‌تر از سطح زمین، نتایج رضایت بخش‌تری را در تداخل‌سنجی فراهم می‌آورد. داده‌های راداری از هر دو باند پس از انطباق‌سنجی زوجی و تعیین خط مبنای مکانی مناسب در محیط SARscape به فرمت SLC تبدیل و بر مبنای آن محاسبات صورت گرفت.

پس از همخوانی دو تصویر، فاز حاصل از دو تصویر SLC نسبت به همدیگر تفاضل یافته و تداخل‌نگار<sup>۱</sup> تولید گردد. این تداخل‌نگار، حاصل نمایش اختلاف فازی ناشی از تغییر فاصله بین پدیده زمینی و سنجنده در دو عبور متوالی است. این تفاضل فازی با ضرب مختلط تصویر اول در مزدوج تصویر دوم حاصل می‌گردد. فاز حاصل از این عملیات یک فاز تفاضلی می‌باشد که علاوه بر فاز حاصل از جابجایی احتمالی پوسته سطحی زمین، شامل فازهایی مربوط به توپوگرافی، فاز اضافه شده در نتیجه تغییرات مداری و فاز مربوط به اختلال اتمسفر می‌باشد. که در ادامه روند پردازش تداخل-سنجی پلایش گردیده و حدالمقدور تمامی فازها بجز فاز جابجایی از سطح تداخل‌نگار حاصل حذف گردد.

تداخل‌نگار تفاضلی حاصل پس از حذف فازهای مزاحم از جمله حذف اثرات توپوگرافی در مرحله پیشین، حاوی نویز فراوانی است که عمدتاً از اختلاف زمانی تصاویر، تفاوت خط مبنای مکانی و همچنین ناشی از لکه‌های فاقد سیگنال پدید آمده و باعث پایین آمدن کیفیت تداخل‌نگار نهایی می‌شود. لذا لازم بود تا با اجرای فیلترهای تطبیقی اثر نویزها از روی تداخل‌نگارها حذف شود. نتیجه این فرایند، ضمن حذف نویز از فاز مربوط به جابجایی و بهبود کیفیت بصری فرینج‌های تداخل‌نگار، منجر به تولید تصویر همدوس نیز شد؛ این تصویر به نوبه خود شاخص مناسبی از کیفیت تداخل‌نگار و تطابق دو فاز مقایسه شده (تداخلی) و همچنین شاخص مناسبی برای ترک یا تاکید بر ادامه فرایند پردازش تداخل‌سنجی است. تاکنون الگوریتم‌های متفاوتی برای این نوع فیلترها ارائه شده است که در تحقیق حاضر از فیلتر گلدشتاین برای پاکسازی تداخل‌نگار استفاده گردید (شکل ۵).

با اعمال فیلتر روی تصویر تداخل‌نگار و حذف سیگنال‌های مزاحم، امکان مقایسه سیگنال باقی مانده از دو تصویر در یک تداخل‌نگار با هدف درک همدوسی مسیر می‌شود. مقادیر همدوسی شاخص مناسبی برای درک تطابق و مشابهت سیگنال‌های اصل از یک نقطه در زوج تصویر (تداخل‌نگار) است. تعدیل میزان همدوسی از سطح آستانه تعریف شده (در این تحقیق ۰.۲۵) موید نا کارآمدی تداخل‌نگار تولید برای اندازه‌گیری تغییرات سطوح است. در زوج تصاویر مورد استفاده میزان همدوسی در تمام داده‌های باند L مطلوب لیک در داده‌های باند C داده مربوط به دوره ۲۰۰۹/۱۲/۱۸ تا ۲۰۰۷/۱۱/۰۹ فاقد حداقل همبستگی تعیین شده بود و حذف گردید (جدول ۱ و ۲).

جدول ۱. مقادیر همدوسی مستخرج برای زوج تصاویر باند L

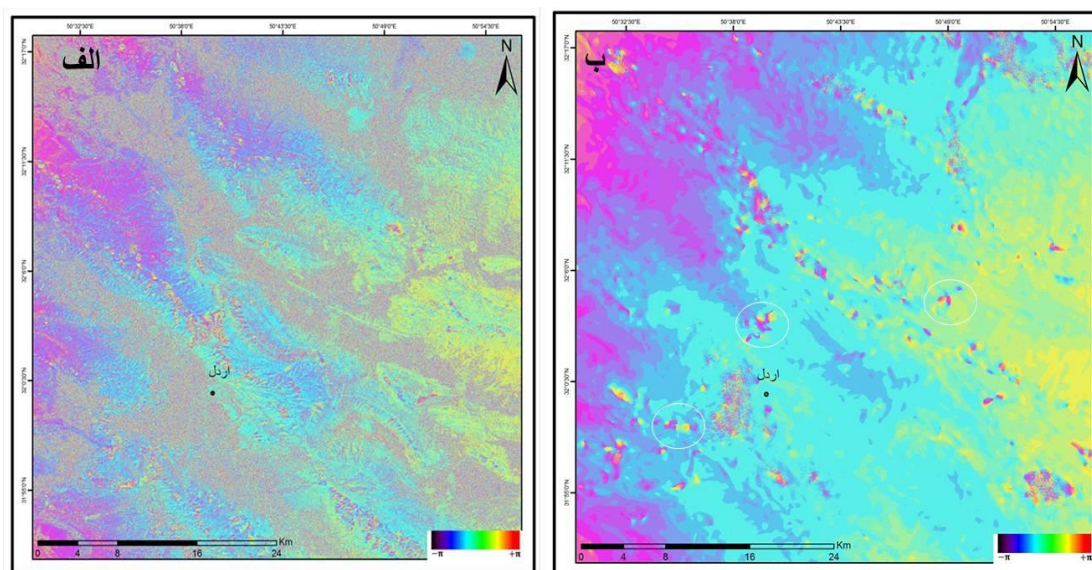
| میانگین | بیش‌ترین مقدار | کم‌ترین مقدار | خط مبنای<br>زمانی (روز) | تاریخ زوج تصاویر برای ساخت تداخل<br>نگار |
|---------|----------------|---------------|-------------------------|--|
| ۰/۳۲۶۴  | ۰/۹۸۶۱         | ۰/۰۰۰۰۴       | ۶۹۰                     | ۲۰۰۷/۰۹/۲۰۰۹-۳۰/۰۸/۲۰                    |
| ۰/۳۱۴۵  | ۰/۹۹۳۹         | ۰/۰۰۰۰۱       | ۱۰۱۳                    | ۲۰۰۷/۰۹/۲۰۱۰-۳۰/۰۷/۰۸                    |
| ۰/۳۵۷۸  | ۰/۹۷۴۵         | ۰/۰۰۰۰۵       | ۳۲۳                     | ۲۰۰۹/۰۸/۲۰۱۰-۲۰/۰۷/۰۸                    |

<sup>۱</sup> Interferogram



جدول ۲. مقادیر همدوسی مستخرج برای زوج تصاویر باند c

| میانگین | بیشترین مقدار | کمترین مقدار | خط مبنای زمانی (روز) | تاریخ زوج تصاویر برای ساخت تداخل نگار |
|---------|---------------|--------------|----------------------|---------------------------------------|
| ۰/۲۷۱۵  | ۰/۹۶۵۲        | ۰/۰۰۰۰۳      | ۱۷۳                  | ۲۰۰۷/۱۱/۲۰۰۸-۰۹/۰۵/۰۲                 |
| ۰/۰۲۲۲  | ۰/۵۰۸۲        | ۰/۰۰۰۰۰۱     | ۷۶۹                  | ۲۰۰۷/۱۱/۲۰۰۹-۰۹/۱۲/۱۸                 |
| ۰/۲۶۷۱  | ۰/۹۹۰۲        | ۰/۰۰۰۰۰۸     | ۹۱۳                  | ۲۰۰۷/۱۱/۲۰۱۰-۰۹/۰۵/۰۷                 |
| ۰/۲۶۲۲  | ۰/۹۷۷۷        | ۰/۰۰۰۰۰۲     | ۵۹۱                  | ۲۰۰۸/۰۵/۲۰۰۹-۰۲/۱۲/۱۸                 |
| ۰/۲۳۲۴  | ۰/۹۵۳۰        | ۰/۰۰۰۰۰۵     | ۷۳۵                  | ۲۰۰۸/۰۵/۲۰۱۰-۰۲/۰۵/۰۷                 |
| ۰/۲۳۲۷  | ۰/۹۵۷۴        | ۰/۰۰۰۰۰۴     | ۱۶۹                  | ۲۰۰۹/۱۲/۲۰۱۰-۱۸/۰۵/۰۷                 |



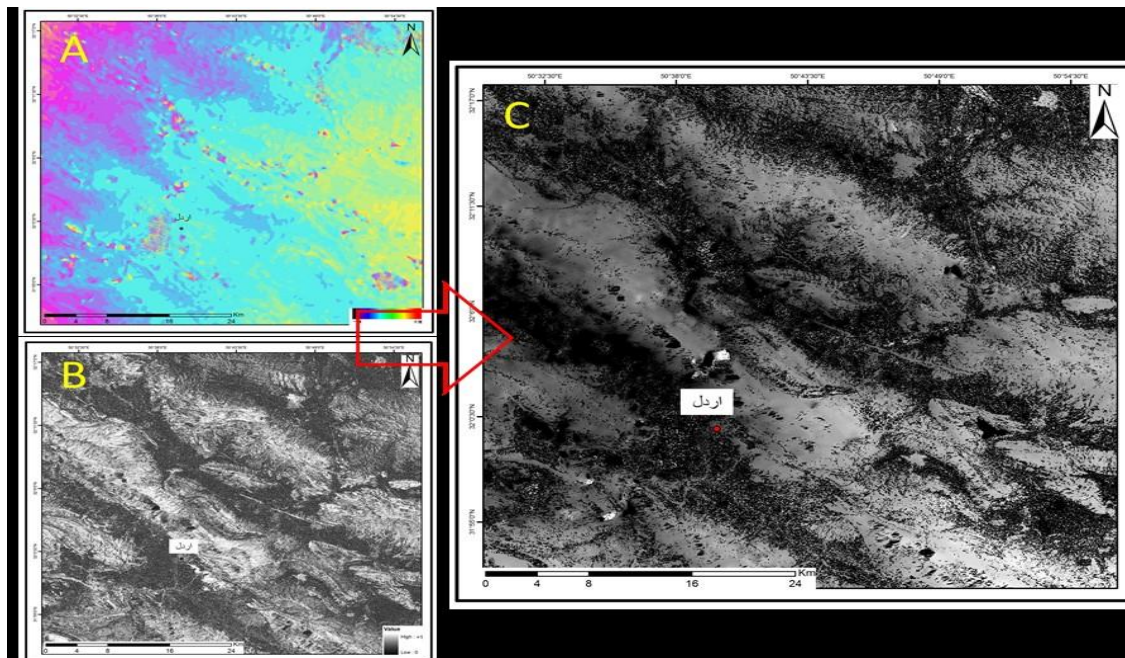
شکل ۵. انجام فیلتر توافقی گلداشتاين بر روی زوج تصویر از سنجنده PALSAR

( تصویر الف: تداخل نگار پس از حذف اثر توپوگرافی. تصویر ب: تداخل نگار تصویر الف پس از اعمال فیلتر - نواحی واقع در دواير سفید معرف نمونه های از نقاط واجد تغییرات در سطوح است)

در مرحله بعدی از فرایند پردازش تصاویر راداری با توجه به اینکه در سیستم راداریسی فاز یک تداخل نگار می تواند تنها به اندازه  $2\pi$  تغییر کند، برای مواقعی که تغییرات بیشتر از مقدار یاد شده باشد نیازمند به بازنگاشت فاز<sup>۱</sup> است. فرایند بازنگاشت فازی باعث خواهد شد تا مقادیر واقعی فاز تداخل نگار مجدداً محاسبه شود. در این راستا الگوریتم های متنوع و پیچیده ای تا کنون ارائه شده اند که هر کدام بسته به نوع داده و منطقه مورد مطالعه مزیت های خاص خود را دارا هستند. عمومی ترین روش هایی که تا کنون در این زمینه به کار گرفته شده اند شامل الگوریتم هایی موسوم به رشد ناحیه ای<sup>۲</sup> و جریان با کمترین هزینه<sup>۳</sup> می باشند. الگوریتم اول قابلیت انطباق بیشتری با مناطقی که همبستگی نسبتاً بالا در تصاویر همدوس دارند، دارا می باشد. در این تحقیق نیز با توجه به مقادیر همبستگی در تداخل نگارهای حاصل، از

۱. Phase Unwrapping  
 ۲. Region Growing  
 ۳. Minimum cost flow

روش دوم برای هر دو سری از تداخل نگارهای حاصل استفاده شد. مقادیر آستانه این الگوریتم نیز با توجه به میانگین مقدار همبستگی در تصویر همدوسی محاسبه و تنظیم گردید (شکل ۶).



شکل ۶. تصویر نمونه حاصل از اصلاح فازی زوج تداخل‌نگار از باند L

A: تداخل‌نگار تفاضلی فیلتر شده B: تصویر همدوس C: تداخل‌نگار اصلاح شده فازی - نواحی روشن در تصویر C موید نقاط و عرصه‌های دارای تغییرات ارتفاعی در سطح است که مقادیر آن با افزایش درجات روشنایی افزایش می‌یابد)

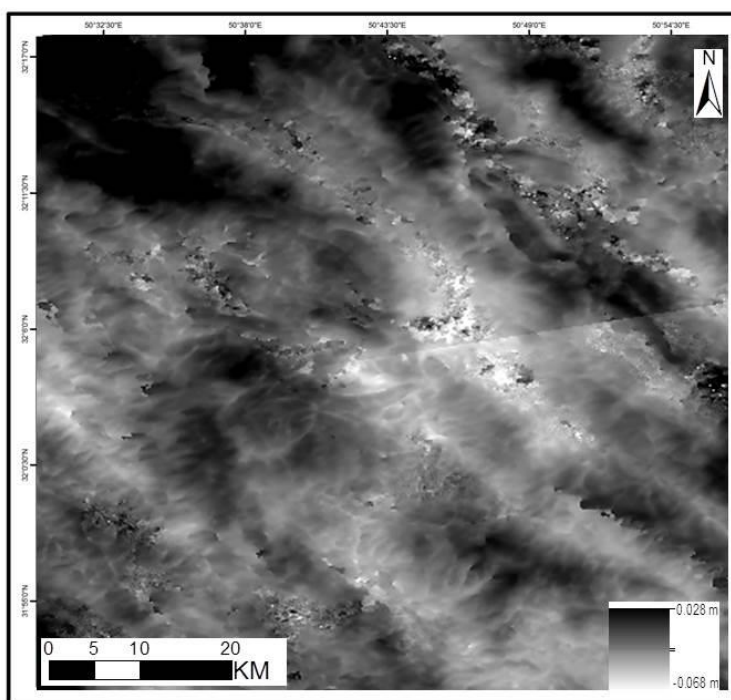
به منظور تبدیل صحیح فاز اصلاح شده به مقادیر ارتفاعی و محاسبه میزان جابجایی سطح زمین، منطبق با الگوریتم مورد استفاده لازم است تا مرحله پالایش و تصحیح مضاعف<sup>۱</sup> نیز اجرا گردد. اجرای این مرحله باعث می‌شود تا فازهای احتمالی مزاحم دیگر از قبیل فازهای باقی مانده از اثرات توپوگرافی و همچنین فاز باقی مانده از جابجایی‌های مداری ماهواره از فاز موجود (ناشی از جابجایی سطح) حذف گردد. انجام این عمل برای تداخل‌نگارهایی که نشان‌هایی از لرزش سکو در فرم پلکانی<sup>۲</sup> دارند، ضروری بوده و حتماً می‌بایست انجام پذیرد. هرچند انجام آن برای داده‌های واجد دقت و عدم لرزش در سکوی نیز توصیه شده است.

از اختلاف فاز حاصل در مرحله اصلاح فازی از فازهای ناشی از توپوگرافی و خطاهای مداری، فاز مطلق به دست آمد که مربوط به جابجایی‌های رخ داده در سطح زمین در بازه زمانی دو تصویر است. نکته مهم اینکه با توجه به توپوگرافی نسبتاً خشن منطقه؛ اصلاح تغییرات ناگهانی یا پرش‌های فاز<sup>۳</sup> موجود در تصویر تصحیح شده با دقت خاص زوده شده تا مقادیر فاز در فرم فرم تغییرات تدریجی حاصل آید. آنچه مسلم است، تغییر ناگهانی و نسبتاً شدید سطوح زمین به جز موارد گسلسش تا حدود زیادی غیر ممکن می‌نماید. لذا هرگونه جابجایی ناگهانی مقادیر فاز پس از کنترل و بررسی

۱. Refinement  
۲. Ramp  
۳. Phase Jump

ساختارهای زمین‌شناسی و مورفولوژیکی، و بخصوص موضوع تغییرات سطحی پوسته زمین، می‌بایست به پرش فاز نسبت داده شده و اصلاح گردد.

در فرجامین مرحله از برداشش تصاویر با تبدیل فاز به مقادیر جابجایی (تبدیل رادینس به متر) میزان تغییرات ارتفاعی حادث در منطقه در فرم عمودی (بالا آمدگی، فرو افتادگی) و افقی لغزش و رانش سطحی اندازه گیری شد (شکل ۷).



شکل ۷. نقشه نهایی و متریک معرف الگوی فضایی جابجایی سطوح

(نواحی با تن روشن عرصه های در معرض فروافتاده گی - و عرصه های تیره نواحی دارای بالا آمدگی است. نواحی با حداکثر روشنایی عمدتاً دامنه های در معرض لغزش را معرفی می نمایند)

• مراحل و روش مدل ارزش اطلاعات برای پهنه بندی خطر زمین لغزش

یکی از مدل‌های آماری دو متغیره برای پهنه‌بندی خطر زمین‌لغزش مدل ارزش اطلاعاتی<sup>۱</sup> که توسط ین<sup>۲</sup> و همکاران در سال ۲۰۰۰ معرفی شده است. بیان اصلی این روش بر مبنای ارتباط بین هر عامل و توزیع و وقوع زمین‌لغزش در گذشته و حال است. کیفیت خروجی این مدل به طور مستقیم وابسته به کیفیت و مقدار داده‌های جمع‌آوری شده می‌باشد

ارزش اطلاعاتی هر متغیر (Xi) با فرمول زیر بدست می‌آید (Yin et al., ۱۹۸۸):

$$IAJ \rightarrow T = \log \frac{\frac{Si}{N_i}}{\frac{S}{N}}$$

که در آن، IAJ→T اطلاعات ارائه شده توسط عامل A و کلاس Z برای وقوع T

۱. Information Value

۲. Yin

$N$  = تعداد کل پیکسل‌های منطقه

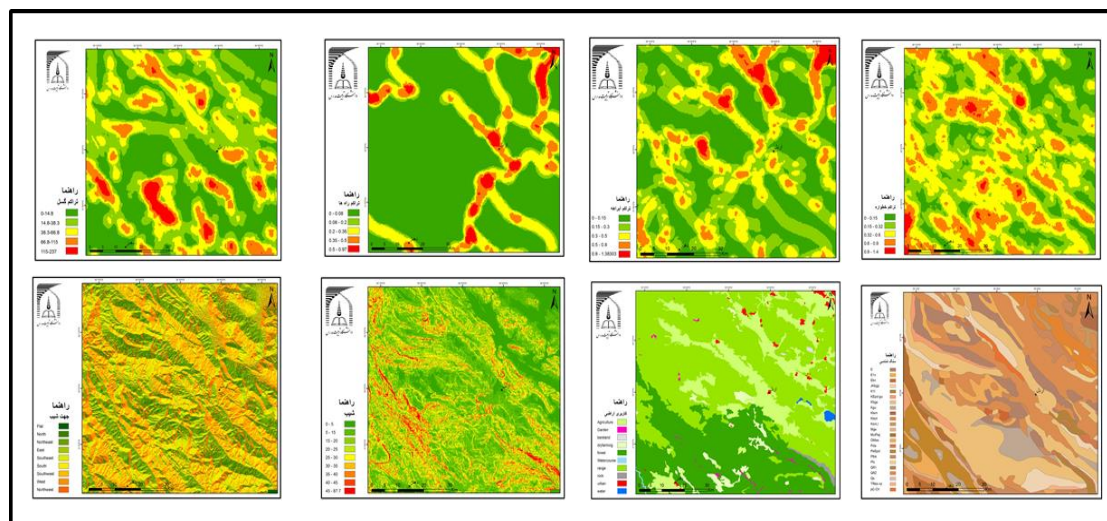
$N_i$  = تعداد پیکسل‌های کلاس  $Z$  عامل  $A$

$S$  = تعداد کل پیکسل‌های زمین‌لغزش رخ داده (عامل  $A$ )

$S_i$  = تعداد پیکسل‌های زمین‌لغزش رخ داده در کلاس  $Z$  عامل  $A$

مدل ارزش اطلاعاتی با ۸ لایه اطلاعاتی (لایه‌های اطلاعاتی شیب، جهت شیب، سنگ‌شناسی، کاربری اراضی، تراکم گسل، تراکم جاده، تراکم شبکه آبراهه و تراکم خطواره‌ها) به عنوان فاکتورهای عامل و نقشه زمین‌لغزش حاصل از تداخل‌سنجی تفاضلی رادار به عنوان نقشه پایه به کار گرفته شد.

مطابق با الگوریتم این مدل لازم بود علاوه بر نقشه زمین‌لغزش‌های حادث که در این تحقیق نقشه خروجی حاصل از تفاضل‌سنجی راداری است (شکل شماره ۸)؛ تعدادی از نقشه‌های موضوعی که عناصر آن می‌توانند در حدوث و ایجاد لغزش به عنوان عامل ایجابی یا تشدیدی موثر باشند از جمله نقشه شیب، ناهمواری، پوشش سطح؛ لیتوژی، گسلش و خط‌واره و... تهیه و پس از آماده‌سازی به مدل معرفی شود. مبتنی بر داده‌های فراهم شده برای این تحقیق این ست نقشه در ۸ عنوان فوق‌الذکر تهیه و به مدل معرفی شد (شکل ۸).

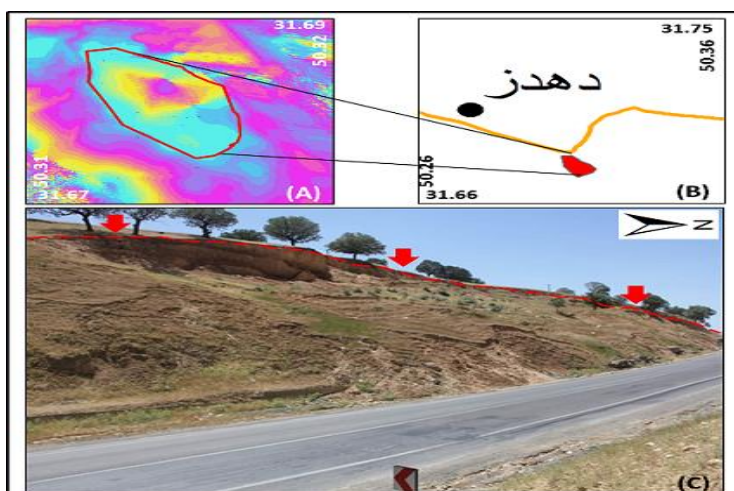


شکل ۸. نقشه‌های موضوعی تولیدی برای ورود به مدل ارزش اطلاعات

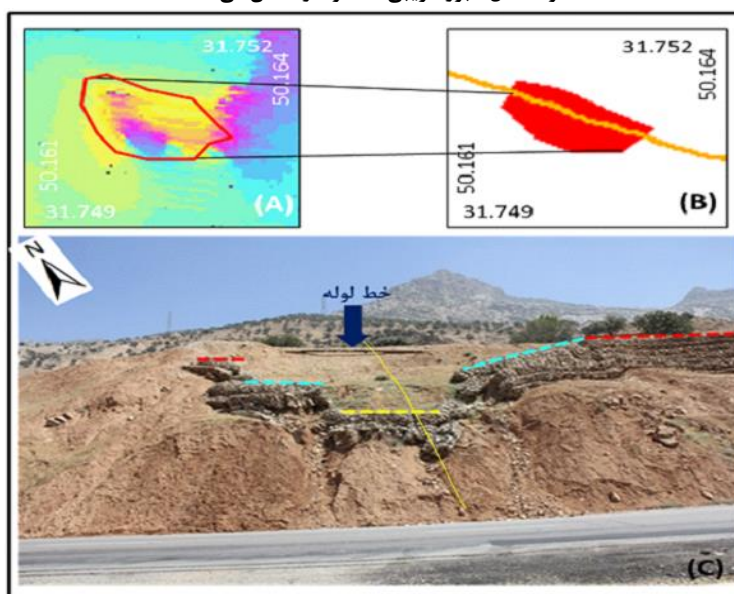
(از راست ردیف بالا نقشه تراکم گسل، نقشه تراکم شبکه راه، نقشه تراکم آبراهه و نقشه تراکم خطواره، ردیف پایین نقشه جهات شیب، نقشه درجه شیب، نقشه کاربری اراضی و نقشه سنگ‌شناسی)

#### • پیمایش میدانی

در این تحقیق پس از شناسایی نواحی معرف زمین‌لغزش‌های حادث، اقدام به بررسی و پیمایش میدانی با هدف انطباق یافته‌ها با واقعیت زمینی شد. بدین منظور اقدام به تطبیق مکانی عرصه معرف لغزش در نقشه حاصل با مکان و موقعیت زمینی آن GPS شد سپس در عرصه شناسایی شده شواهد لغزش بررسی و در مواردی برای تطبیق رقومی فرم و الگوی لغزش با یافته تصویر اقدام به نقشه برداری به روش RTK از طریق دستگاه DGPS گردید. شکل ۹ و ۱۰ نمونه‌هایی از زمین‌لغزش دیده شده در منطقه و تطابق آن‌ها با تصاویر حاصل از تداخل‌سنجی را نشان می‌دهند که حاکی از صحت مطلوب تکنیک مورد استفاده است.



شکل ۹. عکس میدانی - نمونه‌ای از زمین لغزش حادث در مجاورت خط لوله در مجاورت روستای دهدز  
 (A) انترفروگرم معرف زمین لغزش B موقعیت زمین لغزش ترسیمی نسبت به خط لوله C نمای شرقی - غربی از زمین لغزش مورد بررسی -  
 خطوط محل عبور تقریبی خط لوله را نشان می دهد.



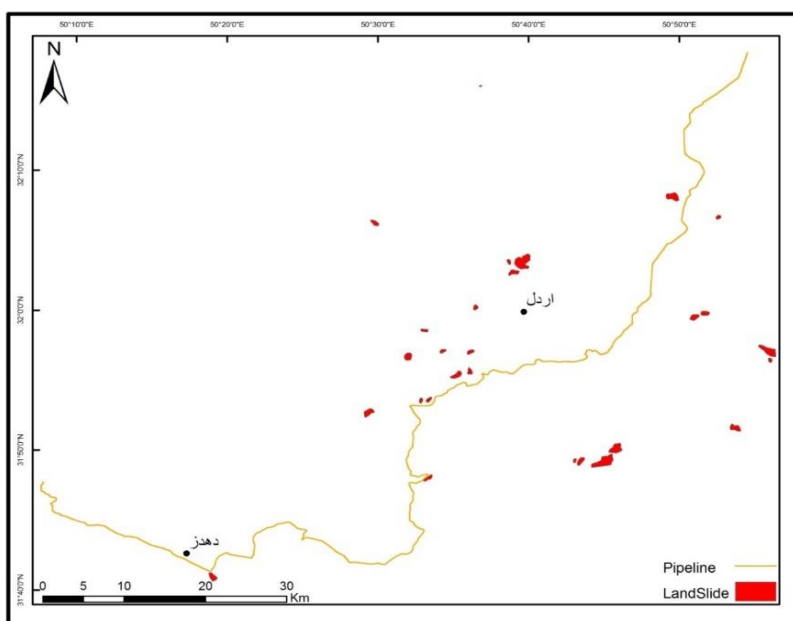
(A) انترفروگرم معرف زمین لغزش B موقعیت زمین لغزش ترسیمی نسبت به خط لوله C نمای شمال شرقی جنوبغربی از زمین لغزش حادث -  
 خط زرد ممتد مسیر ترسیم پرفیل طولی ترسیم در قسمت B شکل ۱۲ - خطوط چین رنگی معرف اقدامات عمرات نا کارآمدی و بعضا  
 تشدید کنند لغزش در مجاورت خط لوله از زمین لغزش مورد بررسی مطالعاتی و تداخل نگار مربوطه (A)

### شرح و تفسیر نتایج

#### • ناپایداری دامنه ای

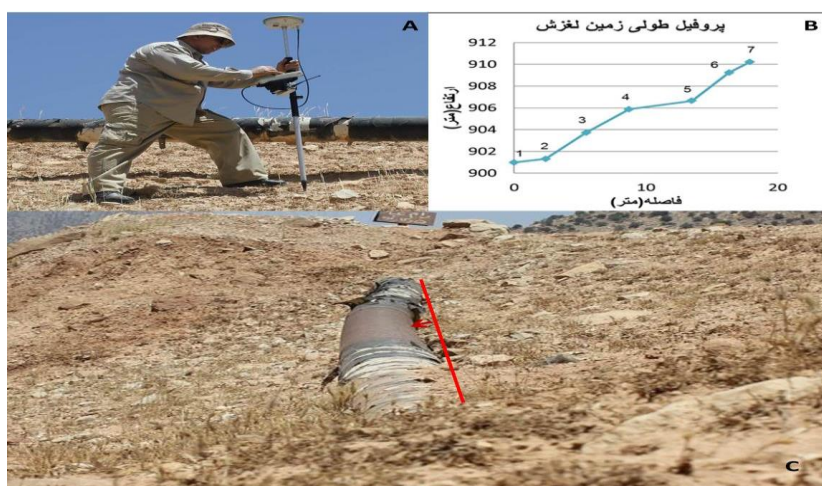
نقشه های متریک جابجایی سطح به عنوان اولین یافته تحقیق است ( نقشه شماره ۸). مستند به این نقشه و با حذف عرصه های در معرض سنگ افت و خزش که در زایش مخاطره زمین لغزش برای خطوط لوله موثر نیستند، ۳۱ عرصه در معرض زمین لغزش فعال از نوع حرکات توده ای که تهدید کننده شبکه انتقال انرژی است شناسائی گردید. همچنین این یافته روشن ساخت که از این تعداد زمین لغزش ۴ مورد کاملاً بر محور عبوری خطوط انتقال انرژی

منطبق بوده و خساراتی را در پی داشته و ۳ مورد نیز در مجاورت خطوط قرار دارد. مابقی با خطوط فاصله داشته و صرفاً تهدیدی بالقوه محسوب می‌شوند.



شکل ۱۱. نقشه عرصه‌های در معرض لغزش (حرکات توده‌ای) در مسیر و پیرامون شبکه انتقال انرژی مورد مطالعه

تجزیه و تحلیل نقشه زمین لغزش و همچنین دستاوردهای پیمایش میدانی دقیق در مورد یک زمین لغزش بر روی شبکه لوله روشن می‌سازد که زمین لغزش حادث در سطح افقی به میزان ۲۰ متر از فرو افتادگی قریب به ۱۰ متر برخوردار بوده این میزان رانش زمین منجر به فشار بر خط لوله و خمیدگی آن به میزان ۲۸ سانتی متر در طول ۴ متری شده است (شکل ۱۲). مساله‌ای که در صورت مداومت فشار لغزش و عدم کنترل آن می‌تواند با شکستن خط لوله منجر به حادثه و حدوث خسارت شود.



شکل ۱۲. عکس میدانی - پیمایش میدانی از زمین لغزش آسیب رسان به خط لوله حادث در مجاورت سد مارون (A) برداشت با دستگاه DGPS پروفیل ترسیمی از مقطع نمایش داده شده در شکل ۱۰ C نمای نزدیک از آسیب دیگی خط لوله انتقال گاز - خط قزمز به طول ۴ متر و پیکان واصل به میزان ۲۸ سانتیمتر خمیدگی لوله را نشان می‌دهد)

تحقیق حاضر روشن ساخت که هرچند برخی از زمین لغزش های مستخرج انطباق مکانی کامل با خطوط انتقال نداشته و در پیرامون آن واقع است. لیکن این امر نافی تهدید و خطر آفرینی برای خطوط لوله نبوده بلکه پتانسیل بسیار بالای برای خطر آفرینی در افق آتی فراهم ساخته است. بطوریکه که در مواردی حدوث مکرر لغزش دامنه فاصله خط لوله با کانون خطر را اندک ساخته و تهدید قریب به وقوعی را پیامد دارد (شکل ۱۳).

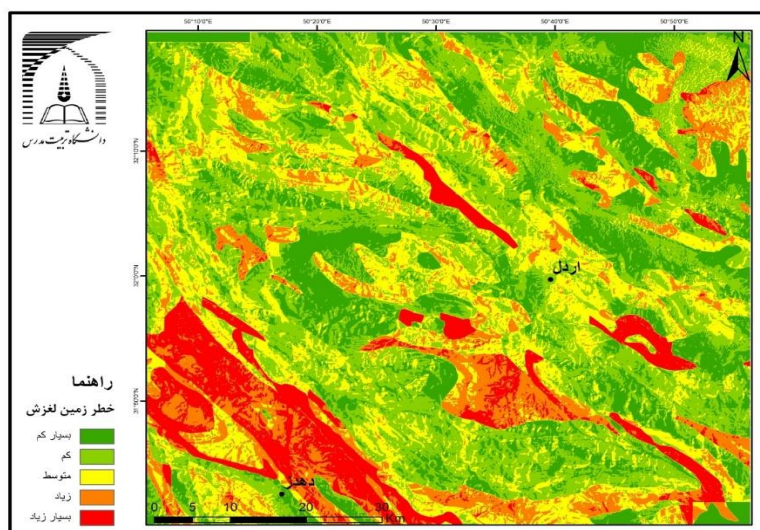


شکل ۱ عکس میدانی - نمونه‌ای از زمین لغزش حادث در مجاورت خط لوله

(خط چین قرمز لبه لغزش را تحدید می نماید. خط طول روبروی این لغزش و در طرف مقابل جاده واقع است که کلاهم آن در ذیل جهت نمای شمال مشهود است)

#### • پهنه بندی مخاطره لغزش

نقشه حاصل از پهنه بندی مخاطره زمین لغزش و کلاس بندی آن در پنج کلاس متداول خطر از بسیار کم تا بسیار زیاد علاوه تبدیل یافته های نقطه ای از زمین لغزش های حادث به عرصه و پهنه واجد پتانسیل خطر؛ امکان تجزیه این عرصه ها به کانونهای پتانسیل خطر با درجات متفاوت را فراهم آورد (شکل ۱۴).



شکل ۱۴. نقشه پهنه‌بندی خطر زمین‌لغزش با استفاده از مدل ارزش اطلاعاتی

تجزیه و تحلیل اولیه این نقشه روشن ساخت که حدود ۲۰ درصد از سطوح مورد مطالعه در کلاس خطر زیاد و خیلی زیاد قرار دارند. این یافته معرف پتانسیل نسبتاً بالای محدوده به لحاظ خطر زمین‌لغزش است. امری که شرایط خاص مرفولوژیکی و لیتولوژیکی عناصر اصلی پدید آورند آن بوده‌اند. هم‌نهاد سازی مکانی مسیر خطوط انتقال انرژی با این نقشه و تجربه تحلیل این خطوط به لحاظ خطرپذیری از مخاطره مورد مطالعه نیز موید وقوع بیش از  $\frac{1}{4}$  طول خطوط در عرصه‌های با خطر زیاد و بسیار زیاد است (جدول شماره ۷).

جدول ۷. طول خط لوله منطقه مطالعاتی در هر کلاس خطر

| طول خط لوله (کیلومتر) | طول خط لوله (درصد) | کلاس خطر   |
|-----------------------|--------------------|------------|
| ۱۹/۲۴                 | ۱۲/۳۳              | بسیار کم   |
| ۶۱/۷۵                 | ۳۹/۶               | کم         |
| ۳۱/۷۷                 | ۲۰/۳۶              | متوسط      |
| ۲۵/۹                  | ۱۶/۶               | زیاد       |
| ۱۷/۳۱                 | ۱۱/۰۹              | بسیار زیاد |

#### • تحلیل و ارزیابی و صحت نقشه پهنه‌بندی خطر زمین‌لغزش

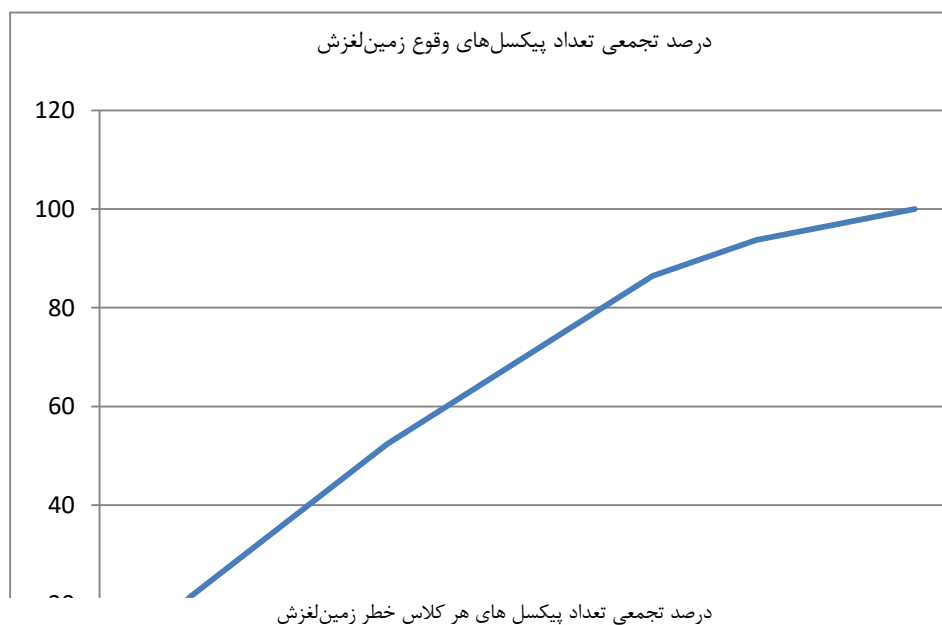
یافته تحقیق در خصوص نقشه پهنه‌بندی خطر زمین‌لغزش به سبب پیش‌بینی و پتانسیل‌سنجی خطر آتی قابلیت تحلیل و سحت‌سنجی در زمان حال ندارد. در عین حال تحلیل و مقایسه تعداد پیکسل مربوط به سطوح فضایی زمین‌لغزش‌های حادث یا فعال شناسایی شده در پردازش داده‌های راداری به پیکسل‌های معرف در نقشه تولیدی پهنه‌بندی خطر در یک نمودار می‌تواند ارزیابی نسبتاً مناسبی از صحت این نقشه ارائه نماید. تحلیل این نمودار نشان می‌دهد در عرصه‌های کلاس خطر زیاد بالاترین تطابق بین وضعیت پتانسیل‌ترسیمی (نقشه پهنه‌بندی) و واقعیت زمینی (زمین‌لغزش حادث) وجود دارد. همچنین فقط حدود ۴ درصد زمین‌لغزش‌های حادث که می‌بایست در کلاس پرخطر و یا بسیار پرخطر واقع می‌شدند؛ در نقشه پهنه‌بندی در کلاس بسیار کم خطر واقع‌گرفته که می‌تواند به خطا یا عدم صحت در پهنه‌بندی نسبت داده شود (جدول شماره ۷)



جدول ۸. تعداد زمین لغزش ثبت شده در هر کلاس خطر

| کلاس خطر   | تعداد پیکسل زمین لغزش ثبت شده | درصد زمین لغزش ثبت شده |
|------------|-------------------------------|------------------------|
| بسیار کم   | ۶                             | ۳/۷۷                   |
| کم         | ۳۳                            | ۲۰/۷۵                  |
| متوسط      | ۳۸                            | ۲۳/۹                   |
| زیاد       | ۵۳                            | ۳۳/۳۳                  |
| بسیار زیاد | ۲۹                            | ۱۸/۲۳                  |

با هدف و درک تحلیل نهایی سنجش صحت مدل مورد استفاده در پهنه بندی خطر زمین لغزش از نمودار مقایسه ای درصد تجمعی تعداد پیکسل مستخرج از دو نقشه زمین لغزش حادث و پهنه بندی خطر استفاده شد. در این نمودار مقدار مساحت واقع در زیر منحنی ترسیمی مویبد با رقم حداکثری یک تعریف شده مه مویبد بطور تئوریک مویبد انطباق ۱۰۰ درصدی نقشه تولید با واقعیت زمین است. در این محاسبه سطح اشغال زیر منحنی به میزان ۰.۶۳۲۲ محاسبه شد که مویبد فراگیری انطباق ۶۳ درصد از پیکسل های نقشه زمین لغزش حادث با نقشه تولید پهنه بندی خطر است. به بیان دیگر صحت این مدلسازی حدود ۶۳ درصد مورد تایید است (نمودار شماره ۲). با عنایت به اینکه مدل مورد استفاده مکرر مورد ارزیابی قرار گرفته و ضریب صحت آن از ۰.۷ تا ۰.۸۵ بوده است، افت ضریب صحت سنجی در این نمودار عمدتاً متأثر از نقشه زمین لغزش که صرفاً زمین لغزش های فعال را معرفی نموده و زمین لغزش های قدیمی که در دوره مورد مطالعه فعالیت نداشته اند را در بر نمی گیرد و همچنین مرکب بودن عوامل زایش زمین لغزش در منطقه که فاکتور های دیگری خارج از فاکتورهای مورد بررسی را طلب می نماید است.



نمودار شماره ۲. صحت سنجی کارآمدی مدل ارزش اطلاعات در پهنه بندی خطر زمین لغزش

## نتیجه گیری

در این تحقیق بکمک روش تداخل سنجی تفاضلی راداری علاوه بر شناسایی نواحی در معرض لغزش نرخ آن محاسبه شد. کنترل میدانی صحت نتایج بدست آمده از مرحله آزمایشگاهی را بخوبی تایید و شواهدی از تهدید خط لوله توسط زمین لغزش حادث را شناسایی نمود. به بیان دیگر تکنیک بکار گرفته شده پتانسیل و کارآمدی خوبی را برای شناسایی این نوع تهدیدات برای زیرساختهای اساسی کشور معرفی نمود. امری به با بگاری گیری آن برای پیش این زیر ساختها امکان حفاظت از این سرمایه را فراهم آورده علاوه بر آن با رصد فعالیت این ناپداریهای و همونها سازی آن با تاب آوری شبکه انتقال میتوان نقاط در معرض خطر را شناسایی و بموقع اقدام نمود. علاوه بر آن در این تحقیق نقشه حاصل از عرصه در معرض لغزش به عنوان داده اصلی و محوری به مدل انتخابی پهنه بندی خطر لغزش معرفی و متکی بر سایر داده های تولیدی و گردآوری شده نقشه پناسیل خطر لغزش تولید و کلاس بندی شد. این نقشه حدود ۲۰ درصد سطح منطقه را در کلاس خطر زیاد و بسیار زیاد طبقه بندی نموده است. منطبق سازی نقشه کلاس بندی خطر زمین- لغزش با مسیر خط لوله نشان داد که ۲۸/۵ درصد از طول خط لوله مورد مطالعه در کلاس خطر زیاد و خیلی زیاد، و حدود ۵۲ درصد از آن در کلاس خطر کم و بسیار کم قرار گرفته اند. این یافته علاوه بر اطلاع رسانی علمی به مسئولین مربوطه؛ ابزار مناسب برای دسته بندی و اولویت اقدامات اجرایی در طول خط لوله را فراهم آورد. امری که در سایر نواحی که خطوط انرژی از عرصه های پرخطر عبور می نمایند لازم به بکارگیری بوده علاوه بر کارآمدی سهولت بکارگیری تکنیکی را متکی بر روش تبیین شده در این تحقیق خواهد داشت.

## منابع

- افجه نصرآبادی، شعبان شتایی، نصرت الله رافت نیا، محسن شریعت جعفری. ۱۳۸۷، ارزیابی کارایی مدل های آماری ارزش اطلاعاتی و تراکم سطح در پهنه بندی خطر زمین لغزش مناطق جنگلی (سری دو جنگل شصت کلاته گرگان). *مجله علوم کشاورزی و منابع طبیعی*، ۱۵(۶): ۳۴-۴۳.
- ایزدی، علی و سید علی چاوشی. ۱۳۹۴. ارزیابی کمی و کیفی ریسک های خطوط لوله انتقال نفت ایران مطالعه موردی (شرکت خطوط لوله و مخابرات نفت ایران). *فصلنامه تخصصی علمی ترویجی*، ۵۲: ۲۰۹-۲۰۰.
- ایلانو مریم؛ ابراهیم مقیمی، محمد رضا ثروتی و منیژه قهرودی تالی. ۱۳۸۹. پهنه بندی خطر حرکات توده ای با استفاده از روش منطق فازی (مطالعه موردی حوضه آبریز سیرا). *مجله چشم انداز جغرافیایی*، ۵: ۲۶-۱۲.
- بای، ناصر و سید محمود حاجی میررحیمی. ۱۳۸۷. پهنه بندی خطر زمین لغزش با استفاده از روش AHP. همایش ژئوماتیک. تهران، سازمان نقشه برداری کشور: ۹-۱.
- برگی؛ خسرو. غلامرضا هروی. ۱۳۷۴. بررسی اثر زلزله بر خطوط لوله گاز مدفون. *نشریه دانشکده فنی دانشگاه تهران*، ۵۶(۳): ۲۲-۳۸.
- بهنیافر، ابوالفضل؛ محمد رضا منصورى دانشور و پروین کهرباييان، ۱۳۸۹. کاربرد مدل AHP و منطق فازی در طبقه بندی خطرات زمین لغزش (حوضه آبریزی فریزی). *فصل نامه جغرافیای طبیعی*، ۳(۹): ۱۰۰-۸۹.
- پورقاسمی، حمیدرضا. حمیدرضا مرادی، سید محمود فاطمی عقدا، محمد رضا مهدوی فر و مجید محمدی ۱۳۹۰. ارزیابی عوامل ژئومورفولوژیکی و زمین شناسی در تهیه نقشه خطر زمین لغزش با استفاده از منطق فازی و روش سلسله مراتبی (بخشی از حوضه آبخیز هراز). *مجله پژوهش های منابع آب و خاک*، ۱: ۳۰-۱۸.
- جوزی، سید علی. مهدی ایرانخواهی. ۱۳۸۸. ارزیابی ریسک محیط زیستی خطوط لوله انتقال گاز به روش تلفیقی AHP. *مجله محیط شناسی*، ۳۶(۱۲۰): ۱۰۷-۵۳.

- حصاری شرمه، مریم. ۱۳۹۱. تحلیل خطرپذیری لرزه‌های خط لوله انتقال گاز سوم آذربایجان. پایان نامه دانشگاه اراک، دانشکده فنی و مهندسی.
- حبیب زاده هریس، محمد صادق. ۱۳۹۲. بررسی فرونشست زمین در شهریار با استفاده از تکنیک D-InSAR. پایان نامه. دانشگاه آزاد اسلامی واحد یزد.
- حقیقت مهر، پریسا. ۱۳۸۹. مطالعه فرونشست سطح زمین ناشی از استخراج آبهای زیر زمینی و چاههای نفتی به کمک تداخل سنجی راداری. پایان نامه. تهران: دانشگاه صنعتی خواجه نصیرالدین طوسی - دانشکده نقشه برداری.
- حیرانی، پریسا؛ علی باقی. ۱۳۹۵. ارزیابی ریسک خطوط لوله انتقال نفت و گاز بر مبنای روش Bow-tie فازی شده. فصلنامه بهداشت و ایمنی کار، ۶(۱): ۷۰-۵۹.
- دهقان سورکی، یونس. ۱۳۹۰. بکارگیری تکنیک تداخل سنجی تفاضلی راداری (D-InSAR) در تعیین نرخ و دامنه فرونشست زمین در دشت مرند. پایان نامه. دانشگاه تربیت مدرس.
- راکعی، بابک. ماشاله خامه‌چیان، پرویز عبدالملکی و پانته‌آ گیاهچی. ۱۳۸۶. کاربرد سیستم شبکه عصبی مصنوعی در پهنه بندی خطر زمین لغزش (سفیدار گله). مجله علوم دانشگاه تهران، ۳۳(۳): ۶۴-۵۷.
- روستایی، شهرام. مه‌اسا روستا، محمد شریفی کیا و جمشید یاراحمدی. ۱۳۹۲. کاربرد تداخل سنجی تفاضلی راداری در شناسایی و پایش زمین لغزشها، مطالعه موردی: حوزه آبخیز گرم چای میانه. نشریه علمی-پژوهشی مهندسی و مدیریت آبخیز، ۵(۳): ۱۹۰-۱۹۸.
- سوری، سلمان. غلامرضا لشکری پور، محمد غفوری و طاهر فرهادی نژاد. ۱۳۹۰. پهنه بندی خطر زمین لغزش با استفاده از شبکه عصبی مصنوعی (حوضه کشوری نوزیان). نشریه زمین شناسی مهندسی، ۵(۲): ۱۲۸۶-۱۲۶۹.
- شادفر، صمد. مجتبی یمانی و محمد نمکی. ۱۳۹۰. پهنه بندی خطر زمین لغزش با استفاده از مدل های ارزش اطلاعاتی، تراکم سطح و LNRF در حوضه چالکروود. مجله مهندسی و مدیریت آبخیز، ۳: ۴۰-۴۷.
- شریفی کیا، محمد. ۱۳۹۱. تعیین میزان و دامنه فرونشست زمین به کمک روش تداخل سنجی راداری در دشت نوق-بهرمان. برنامه ریزی و آمایش فضا، ۷۵(۳): ۷۸-۵۵.
- شریفی کیا، محمد. نعمت مال میری و سیاوش شایان. ۱۳۹۲. سنجش میزان آسیب پذیری بافت های شهری در برابر مخاطره فرونشست زمین مطالعه موردی (بخشی از جنوب شهر تهران). جغرافیا و مخاطرات محیطی، ۵: ۱۰۶-۹۱.
- شریفی کیا، محمد. عباسعلی افضلی و سیاوش شایان. ۱۳۹۴. استخراج و ارزیابی اثرات پدیده های ژئومورفولوژیک ناشی از فرونشست در دشت دامغان. پژوهش های ژئومورفولوژی کمی، ۲(۱۴): ۷۴-۶۰.
- شیرانی، کورش. عبدالله سیف و محمد شریفی کیا. ۱۳۹۳. ارزیابی کارایی سنجنده های ASAR و PALSAR به کمک تداخل سنجی تفاضلی در شناسایی و پایش زمین لغزش ها در زاگرس. نشریه علمی-پژوهشی مهندسی و مدیریت آبخیز، ۶: ۲۸۸-۳۰۱.
- صفاری، امیر. ارش اخدر. ۱۳۹۱. مقایسه مدل نسبت فراوانی و توابع عضویت فازی در پهنه بندی خطر زمین لغزش (مطالعه موردی جاده ارتباطی مریوان- سنندج). مجله جغرافیا و مخاطرات محیطی، ۴: ۷۹-۹۶.
- کریمی، امین. ۱۳۹۰. فرونشست زمین در دشت قره بلاغ فسا و ارتباط آن با افت سطح آب زیرزمینی. مشهد. پایان نامه. دانشگاه فردوسی مشهد.
- عباسی، امین. ۱۳۷۶. آنالیز خطر ناپایداری دامنه ناشی از زمین لرزه روی خطوط لوله انتقال گاز منطقه چهارمحال و بختیاری. دومین سمینار زمین لغزه و کاهش خسارتهای آن: ۱۶.
- محمدی، آرمان. ۱۳۸۹. ارزیابی تراکم مخزن و فرونشست سطح میادین هیدروکربوری با استفاده از روش تداخل سنجی. پایان نامه. دانشگاه صنعتی شاهرود.
- مصفايي، جمال. مجید اونق، منصور مصداقی و محسن شریعت جعفری. ۱۳۸۸. مقایسه کارایی مدل های تجربی و آماری پهنه بندی خطر زمین لغزش (حوضه آبخیز الموت رود). مجله پژوهش های حفاظت آب و خاک، ۱۶(۴): ۶۱-۴۳.
- موسسه زلزله شناسی. ۱۳۷۵. تعیین خطرپذیری شبکه های انتقال نفت و گاز کشور. گزارش داخلی

- نورمحمدی، طاهره. ۱۳۹۰. ارزیابی ریسک در خطوط لوله بنزین. پایان نامه. دانشگاه سیستان و بلوچستان. مهندسی شمی.
- Chamundeewari, V.; D. Singh, K.singh. ۲۰۰۸. An Analysis of Texture Measures in PCA-Based Unsupervised Classification of SAR Images, *IEEE Transactions on Geoscience and Remote Sensing*. ۶(۳): ۲۱۴ - ۲۱۸.
- Chatterjee, R.S.; B. Fruneau, T. J. P, Rudan, P.S.Roy, P. Frison, R.C. Lakhera, V.K. Dadhwal, R. Saha . ۲۰۰۶. Subsidence of Kolkata (Calcutta) City, India during the ۱۹۹۰s as observed from space by Differential Synthetic Aperture Radar Interferometry (D-InSAR) technique. *Remote Sensing of Environment*. ۱۰۲: ۱۷۶-۱۸۵.
- Crosetto, M.; J. Gili, O.Monserrat, C.G.María . ۲۰۱۳. Interferometric SAR monitoring of the Vallcebre landslide (Spain) using corner reflectors. *Natural Hazards and Earth System Sciences*. ۳ : ۹۲۳-۹۳۳. doi.org/۱۰.۵۱۹۴/nhess-۱۳-۹۲۳-۲۰۱۳, ۲۰۱۳.
- Dehghani, M.: M. J. Valadan Zoej, I.Entezam, A.Mansourian, S. Saatchi. ۲۰۰۹. InSAR monitoring of progressive land subsidence in Neyshabour, northeast Iran. *Geophysical Journal International*. ۱۷۸ (۱): ۴۷-۵۶.
- Dehghani, M.: M. J. Valadan Zoej, S. Saatchi, J. Biggs, B. Parsons, T. Wright. ۲۰۰۹. Radar Interferometry Time Series Analysis of Mashhad Subsidence. *Journal of the Indian Society of Remote Sensing*. ۳۷ (۱): ۱۴۷-۱۵۶.
- Honegger, D. G.: D. James, R. P. Hart, P. Carl, W. G.Richard. ۲۰۱۰. Recent PRCI Guidelines for Pipelines Exposed to Landslide and Ground Subsidence Hazards. *Pipeline Research Council International (PRCI)*. proceedings paper: ۷۱-۸۰, DOI: ۱۰.۱۱۵/IPC۲۰۱۰-۳۱۳۱
- Motagh, M.: Y. Djamour, T. R Walter, H. U Wetzal, J.Zschau, S. Arabi. ۲۰۰۷. Land subsidence in Mashhad Valley, northeast Iran: Results from InSAR, levelling and GPS. *Geophysical Journal International*. ۱۶۸ (۲): ۵۱۸-۵۲۶.
- Motagh, M.; T. R. Walter, M. A. Sharifi, E. Fielding, A. Schenk, J. Anderssohn, J. Zschau. ۲۰۰۸, Land subsidence in Iran caused by widespread water reservoir overexploitation, *Geophysical. Research. Letter*. ۳۵( ۱۶۴۰۳): ۱-۵. DOI: ۱۰.۱۰۲۹/۲۰۰۸GL۰۳۳۸۱۴.
- Firucha, A.; d .Kriyo Sambodho, Wahyudi. ۲۰۱۲. Penilaian Risiko terhadap Pipa Bawah Laut East Java Gas Pipeline (EJGP) Pertamina Akibat Soil Liquefaction karena Gempa Bumi. *Jurnal Teknikits*. ۱ (۱): ۱۴۳-۱۴۸.
- Ferretti, A.; D.Colombo, A.Fumagalli, F.Novali, A.Rucci. ۲۰۱۵. InSAR data for monitoring land subsidence: time to think big. *Proceedings of the International Association of Hydrological Sciences (PIAHS)*. ۳۷۲: ۳۳۱-۳۳۴.
- Raucoules, D.; S. Le Mouelic, C.Carnec, M. Christophe. ۲۰۰۷. Urban subsidence in the city of Prato (Italy) monitored by satellite radar interferometry. *International Journal of Remote Sensing*. ۲۴.(۴): ۸۹۱-۸۹۷.
- Shahriar, A.; R. Sadiq, S.Tesfamariam. ۲۰۱۲. Risk analysis for oil & gas pipelines: A sustainability assessment approach using fuzzy based bow-tie analysis. *Journal of Loss Prevention in the Process Industries*. ۲۵.(۳): ۵۰۵-۵۲۳.
- Sharifikia, M. ۲۰۰۷. Remote Sensing & GIS Application in Geohazards A case Study of Central Alborz, N. Iran. *PhD Thesis*, Department of Geology University of Delhi.
- Sneed, M.; E. M.F.Ikehara, V.Sylvia, F.A. Stork, L. Devin. ۲۰۰۲. Detection and Measurement of Land Subsidence Using Interferometric Synthetic Aperture Radar and Global Positioning System, San Bernardino County, Mojave Desert, California. Sacramento, California: U.S. *Water-Resources Investigations Report* ۲۰۰۲-۴۰۱۵. DOI:org/۱۰.۳۱۳۳/wri۰۳۴۰۱۵
- Schlögel, R.; D. Cécile, M. Jean-Philippe, M. Frédéric ۲۰۱۴. Landslide deformation monitoring with ALOS/PALSAR imagery: A D-InSAR geomorphological interpretation method. *Geomorphology*. ۲۳۱: ۳۱۴-۳۳۰ DOI: ۱۰.۱۰۱۶/j. geomorph. ۲۰۱۴. ۱۱, ۰۳۱
- Yin, K.; T.Yan. ۱۹۸۸. Statistical Prediction models for slope stability of metamorphosed rock. *In Landslides, Bonnard*. ۴: ۱۲۶۹-۱۲۷۲.